

2.

## Potencial Elétrico no Vácuo

- 2.1. Introduzir
- 2.2. Potencial elétrico de uma carga pontual
- 2.3. Potencial elétrico de distribuições de carga
- 2.4. Exemplos de cálculo da função potencial
- 2.5. Potencial e campo no volume e na superfície de um condutor fechado. Distribuição superficial de cargas.
- 2.6. Superfícies equipotenciais
- 2.7. Teorema de Earnshaw
- 2.8. Equações de Laplace e de Poisson
- 2.9. Exemplos de solução das equações de Laplace e de Poisson.
- 2.10. Dipolo elétrico
- 2.11. Quadrupolo elétrico.
- 2.12. Expansões multipolares do potencial elétrico
- 2.13. Escolha da origem do sistema de coordenadas na expansão multipolar.
- 2.14. Exemplos de expansões multipolares.

2.

## Potencial Eléctrico no Vácuo

### 2.1. Introdução

### 2.2. Potencial eléctrico de uma carga puntual

Como se viu no capítulo 1, uma carga puntual  $q$ , na origem, cria um campo eléctrico de Coulomb

$$\vec{E}(\vec{r}) = \frac{1}{4\pi\epsilon_0} \frac{q\hat{r}}{r^2}$$

em que  $\vec{r}$  é o vetor da posição do ponto em que é observado o campo eléctrico. Seja agora uma segunda carga puntual  $q'$  situada em  $\vec{r}'$ ; sobre ela atua uma força radial

$$\vec{F} = \frac{1}{4\pi\epsilon_0} \frac{qq'}{r'^2} \hat{r} = f(r) \hat{r}$$

Quando  $q'$  se desloca de  $d\vec{s}$ , com velocidade infinitesimal (regime quase-estático), o trabalho elementar contra a força de Coulomb é

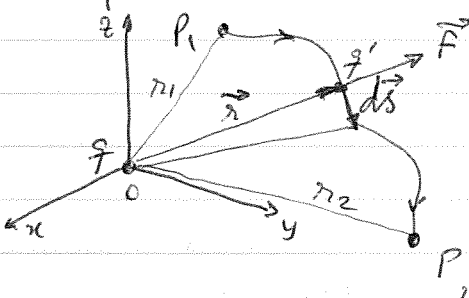
$$dU_e = -\vec{F} \cdot d\vec{s} = -f(r) \hat{r} \cdot d\vec{s} = -f(r) dr$$

em que  $dr$  é a componente de  $d\vec{s}$  segundo  $\hat{r}$ . Para um percurso fruto entre os pontos  $P_1$  e  $P_2$ , o trabalho realizado será:

$$\int_{P_1}^{P_2} dU_e = - \int_{r_1}^{r_2} F(r) dr = \frac{qq'}{4\pi\epsilon_0} \left( \frac{1}{r_2} - \frac{1}{r_1} \right) =$$

$$= U_e(r_2) - U_e(r_1)$$

apenas dependente das distâncias  $r_1$  e  $r_2$ , e que garante a diferença de energia potencial eléctrica  $U_e(r)$  entre as duas posições. Considerando um percurso contínuo entre  $P_1$  e  $P_2$ , a variação de energia potencial eléctrica das duas cargas pontuais será a mesma, donde o campo eléctrico diz-se conservativo. (tal como



acorrem com o campo gravitacional). Considerando  $q'$  como uma "carga de teste", define-se a diferença de potencial entre dois pontos do campo elétrico criado por  $q$  como

$$\phi(\vec{r}_2) - \phi(\vec{r}_1) = \frac{1}{q'} \left[ U(r_2) - U(r_1) \right] = - \int_{\vec{r}_1}^{\vec{r}_2} \frac{1}{q'} \vec{F}(\vec{r}) \cdot d\vec{s} = - \int_{\vec{r}_1}^{\vec{r}_2} \vec{E}(\vec{r}) \cdot d\vec{s}$$

O campo elétrico governar, portanto, como

$$\vec{E} = -\nabla \phi$$

em que  $\phi(\vec{r})$  é a função potencial elétrico, que verifica a relação para campo estacionário:

$$\nabla \times \vec{E} = 0$$

(campo irrotacional)

Abordando as teoremas de Stokes (veja Apêndice...), sendo  $C$  um percurso fechado e  $S$  uma superfície nela abrigada, temos

$$\oint_C \vec{E} \cdot d\vec{l} = \int_S (\nabla \times \vec{E}) \cdot \hat{n} dS = \int_S [\nabla \times (-\nabla \phi)] \cdot \hat{n} dS = 0$$

onde

$$\oint_C \vec{E} \cdot d\vec{l} = 0$$

que é uma propriedade do campo conservativo.

Conhecido o potencial elétrico  $\phi(\vec{r})$  da carga pontual, o cálculo do campo  $\vec{E}(\vec{r})$  é simples, em princípio, envolvendo apenas diferenciação:  $\vec{E} = -\nabla \phi$ . A operação inversa é mais complexa, implicando integração,  $\phi(\vec{r}) = - \int \vec{E}(\vec{r}') \cdot d\vec{l}'$ , e a fixação da constante de integração. É usual tomar o potencial do infinito como zero, e então o potencial num ponto coincidir com a diferença de potencial entre esse ponto e o infinito:

$$\phi(\vec{r}) = - \int_{\infty}^{\vec{r}} \vec{E}(\vec{r}') \cdot d\vec{l}' \quad (\phi(\infty) = 0)$$

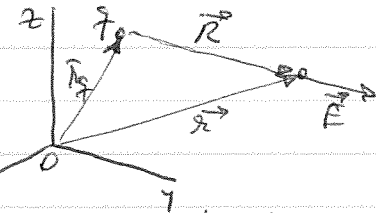
Tomar  $\phi=0$  para  $\vec{r} \rightarrow \infty$  é possível quando a distribuição da carga é limitada a um domínio finito.

O potencial elétrico exprime-se no SI em  $J C^{-1}$ , habitualmente escrito como volt (V). Assim, diz-se que o potencial elétrico num ponto é de 1 V quando é trabalhado o trabalho necessário para mover a carga pontual de 1 C de infinito até esse ponto é de 1 J (por qualquer percurso).

Para uma carga pontual  $q$  situada no ponto  $\vec{r}_q$ , o potencial elétrico  $\phi(\vec{r})$  é dado como

$$\phi(\vec{r}) = \frac{1}{4\pi\epsilon_0} \frac{q}{R}$$

sendo  $\vec{R} = \vec{r} - \vec{r}_q$ .



Consideremos, em menor detalhe, o conceito de campo elétrico conservativo. Seja uma partícula carregada, movendo-se com velocidade  $\vec{v}$  num ponto de uma região de campo nulo, sob ação de uma força  $\vec{F}$ . Então, a sua energia cinética  $T$  varia temporalmente de acordo com

$$dT/dt = \vec{F} \cdot \vec{v}$$

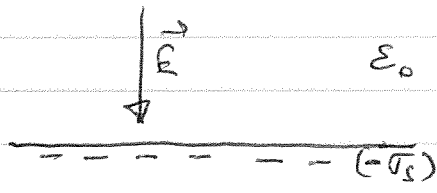
Existindo um campo nessa região, e sendo  $U$  a energia potencial da partícula nesse ponto, a sua variação temporal devore quer de  $U(\vec{r}, t)$ , num ponto fixo, varia temporalmente, quer de  $U(\vec{r}, t)$  varia espacialmente ao longo da trajetória da partícula. Assim:

$$\frac{dU}{dt} = \frac{\partial U}{\partial t} + (\nabla U) \cdot \vec{v}$$

A taxa de variação temporal da energia total ( $T+U$ ) da partícula é, então:

$$\begin{aligned} \frac{d}{dt}(T+U) &= \frac{dT}{dt} + \frac{dU}{dt} = [\vec{F} \cdot \vec{v}] + \left[ \frac{\partial U}{\partial t} + \nabla U \cdot \vec{v} \right] = \\ &= (\vec{F} + \nabla U) \cdot \vec{v} + \frac{\partial U}{\partial t} \end{aligned}$$

Não variando  $U$  explicitamente no tempo,  $\partial U / \partial t = 0$ , e sendo  $\vec{F} = -\nabla U$  (campo  $\vec{F}$  irrotacional), entao  $T+U$  é conservada. No caso elétostático, tem-se  $\vec{F} = q\vec{E}$ , donde  $\vec{F} = -\nabla U$  é equivalente a  $\vec{E} = -\nabla\phi$ . A escolha do sinal (-) em  $\vec{E} = -\nabla\phi$  corresponde, no exemplo de um condensador plano carregado,  $+++++(+\sigma_s)$  ao potencial elétrico da anodina carregada positivamente  $(+\sigma_s)$  ser inferior ao potencial elétrico da catodina carregada negativamente  $(-\sigma_s)$ .



## 2.3. Potencial elétrico da distribuição de cargas

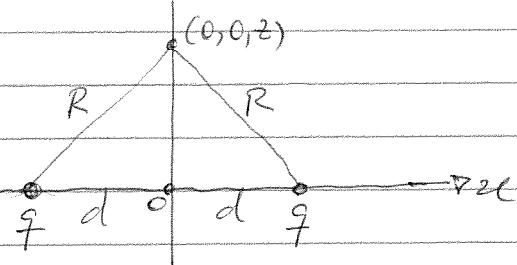
Considerando um conjunto de  $N$  cargas partículas que em posições  $\vec{r}_k$ , no vácuo, e em relações diretas com o facto de o campo elétrico do sistema de cargas ser a superposição

Quando a distribuição da carga elétrica se estende para o infinito, a fixação do potencial no infinito perde sentido (ex: plano carregado uniformemente ( $\sigma_0$ );  $E = (\sigma_0/\epsilon_0)\hat{n}$ ;  $\phi(z) = -\int_{-\infty}^z (\sigma_0/\epsilon_0) dz = -(\sigma_0/\epsilon_0)(z - \infty)$ ). Contudo, esta situação não ocorre na realidade, pois não há verdadeira distribuição física de carga estendendo-se ao infinito. Para lá disso, poderá usar-se um ponto qualquer como referência de potencial quando se pretenda calcular diferenças de potencial.

A função potencial elétrico é contínua, enquanto o campo elétrico  $E$  apresenta descontinuidades em superfícies onde existem distribuições de carga ( $E_{n2} - E_{n1} = \sigma_0/\epsilon_0$ ). A continuidade de  $\phi(z)$  explica o facto de a energia das cargas situadas numa qualquer superfície  $S$  não variar entre os "dois lados" de  $S$ .

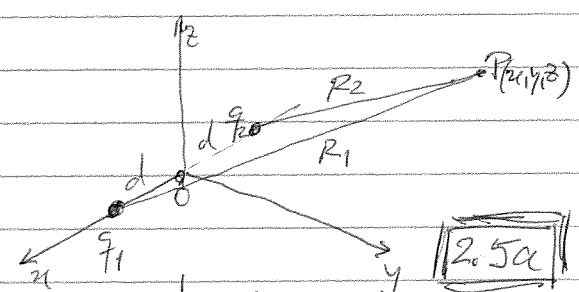
= Potencial de duas cargas pontuais que situadas em [2.4a]

$$\phi(0,0,z) = \frac{1}{4\pi\epsilon_0} \left[ \frac{q}{R} \right] = \frac{1}{4\pi\epsilon_0} \left[ \frac{q}{\sqrt{d^2+z^2}} \right]$$



Num ponto arbitrário  $P(x, y, z)$ :

$$\begin{aligned} \phi(x, y, z) &= \frac{1}{4\pi\epsilon_0} \left[ \frac{q}{R_1} + \frac{q}{R_2} \right] = \\ &= \frac{q}{4\pi\epsilon_0} \left[ \frac{1}{\sqrt{(x-d)^2+y^2+z^2}} + \frac{1}{\sqrt{(x+d)^2+y^2+z^2}} \right] \end{aligned}$$

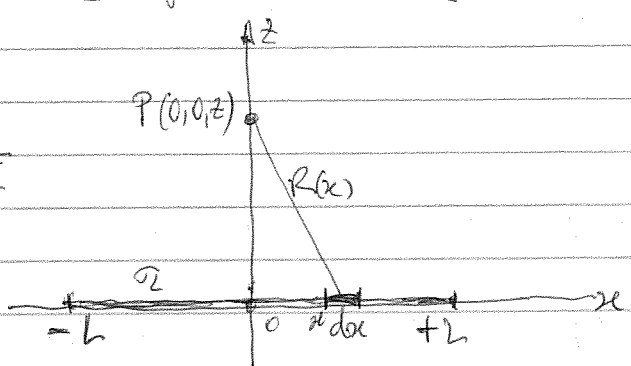


= Potencial de um segmento de reta de comprimento  $2L$ , no eixo  $xze$  e centrado, com distribuição contínua de carga de densidade  $\sigma_0$ , no eixo normal de simetria

O elemento de carga  $dq$  em  $(x, 0, 0)$  origina um potencial  $d\phi = \frac{1}{4\pi\epsilon_0} \frac{\sigma_0 dx}{\sqrt{x^2+z^2}}$

em  $(0, 0, z)$ . Assim:

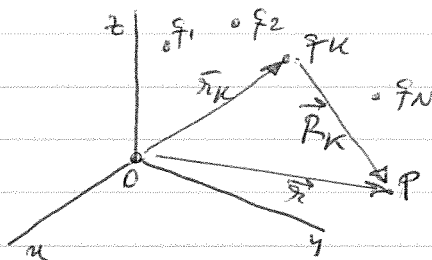
$$\phi(0,0,z) = \frac{\sigma_0}{4\pi\epsilon_0} \int_{-L}^{+L} \frac{dx}{\sqrt{x^2+z^2}}$$



dos campos das cargas individuais e a relação entre  $\vec{E} = \Phi$  ser linear, resulta que o potencial será a soma dos potenciais das cargas pontuais:

$$\Phi(\vec{r}) = \frac{1}{4\pi\epsilon_0} \sum_{k=1}^N \frac{q_k}{R_k}$$

com:  $\vec{R}_k = \vec{r} - \vec{r}_k$



Generalizando a distribuição contínua de densidade  $\sigma_v(\vec{r}')$ , vem imediatamente:

$$\boxed{\Phi(\vec{r}) = \frac{1}{4\pi\epsilon_0} \int_{V'} \frac{\sigma_v(\vec{r}')}{R} d\vec{r}'}, \text{ com } \vec{R} = \vec{r} - \vec{r}'$$

(e semelhantemente para distribuições superficiais ( $\sigma_s(\vec{r}')$ ) ou lineares ( $\sigma_l(\vec{r}')$ ) de carga).

Como analisado no Capítulo 1, o campo elétrico de uma distribuição de carga  $\sigma_v(\vec{r}')$  é dado por:

$$\vec{E}(\vec{r}) = \frac{1}{4\pi\epsilon_0} \int_{V'} \frac{\sigma_v(\vec{r}')}{R^2} \hat{R} d\vec{r}'$$

Atendendo a que

$$\nabla_x \left( \frac{1}{R} \right) = - \frac{\hat{R}}{R^2} \quad (\text{ver Apêndice...})$$

tem:

$$\vec{E}(\vec{r}) = - \frac{1}{4\pi\epsilon_0} \int_{V'} \sigma_v(\vec{r}') \nabla_x \left( \frac{1}{R} \right) d\vec{r}'$$

Como  $\nabla_x$  é o operador de derivadas sobre as coordenadas  $\vec{r}$ , enquanto o integral diz respeito ao domínio  $\vec{r}'$ , pode escrever-se

$$\vec{E}(\vec{r}) = \nabla \left[ - \frac{1}{4\pi\epsilon_0} \int_{V'} \frac{\sigma_v(\vec{r}')}{R} d\vec{r}' \right] = - \nabla \Phi$$

(em que  $\nabla \equiv \nabla_x$ ), conforme esrito anteriormente para o caso de uma carga pontual no vácuo.

## 2.4. Exemplos de cálculo da função potencial

Alguns exemplos ilustram o cálculo do potencial elétrico  $\Phi$  a partir do campo elétrico  $\vec{E}$ , ou diretamente da distribuição de carga  $\sigma_v$  (ou  $\sigma_s$ ,  $\sigma_l$ ).

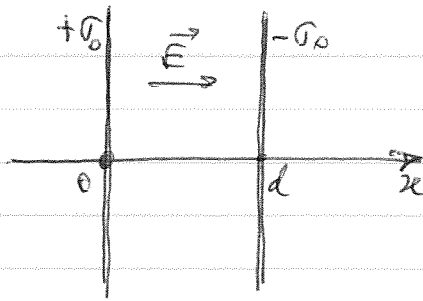
### Condensador plano

Seja um condensador plano com armaduras situadas em  $x=0, d$  carregadas com densidades superficiais de carga  $\pm \sigma_0$  ( $\sigma_0 > 0$ ), conforme ilustra a figura.

Como discutido no Capítulo 1, o campo elétrico é nulo no exterior dos condutores e vale  $\vec{E} = \sigma_0/\epsilon_0 \hat{x}$  no seu interior.

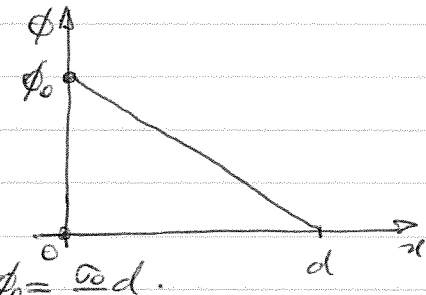
Assim, para  $0 \leq u \leq d$ , resulta a diferença de potencial

$$\begin{aligned}\phi(u) - \phi(d) &= - \int_d^u \vec{E} \cdot d\vec{r} = - E \int_d^u du = \\ &= \frac{\sigma_0}{\epsilon_0} (d - u)\end{aligned}$$



Tomando  $\phi(d) = 0$  como referência de potencial, vem:

$$\phi(u) = \frac{\sigma_0}{\epsilon_0} (d - u) = \phi_0 (d - u), \text{ com } \phi_0 = \frac{\sigma_0 d}{\epsilon_0}$$



### - Distribuição rectilínea uniforme de carga

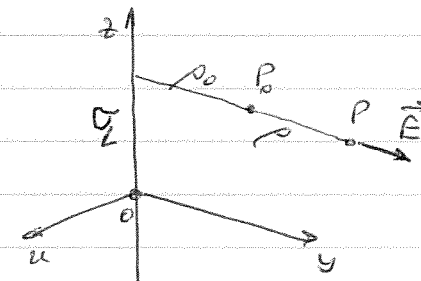
Como analisado anteriormente, o campo elétrico de uma distribuição rectilínea (eixo  $z\hat{z}$ ) de carga de densidade  $\sigma_L$  é radial, sendo descrito por  $\vec{E}(r) = \frac{\sigma_L}{2\pi\epsilon_0 r} \hat{r}$

Assim, a diferença de potencial entre pontos  $P$  e  $P_0$  é distância  $r$  e  $r_0$ , respectivamente, da reta carregada, sendo

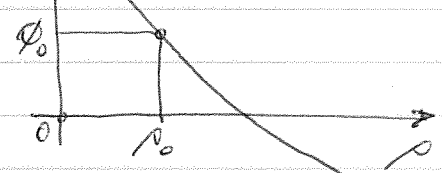
$$\phi(P) - \phi(P_0) = - \int_{P_0}^P \vec{E} \cdot d\vec{s} = - \frac{\sigma_L}{2\pi\epsilon_0} \int_{P_0}^P \frac{dr}{r}$$

Donde:

$$[\phi(P) - \phi(P_0)] = - \frac{\sigma_L}{2\pi\epsilon_0} \ln \frac{r}{r_0}$$



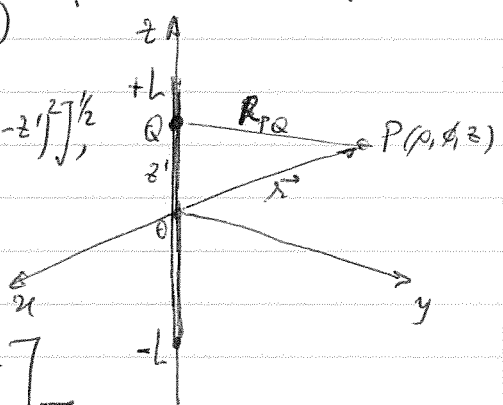
Note-se que existe divergência para  $r = 0$  (reta de carga) e  $r \rightarrow \infty$ , resultante da distribuição infinita de carga.



Para uma distribuição de carga uniforme num segmento  $-L \leq z \leq L$ , o potencial no ponto  $P(r, \theta, z)$  pode calcular-se diretamente a partir da distribuição de cargas; sendo  $R_{PQ} = \sqrt{r^2 + (z - z')^2}^{1/2}$ , valem:

$$\phi = \int_{-L}^{+L} \frac{\sigma_L dz'}{4\pi\epsilon_0 [\rho^2 + (z - z')^2]^{1/2}} =$$

$$= - \frac{\sigma_L}{4\pi\epsilon_0} \ln \left[ \frac{z - L + [\rho^2 + (z - L)^2]^{1/2}}{z + L + [\rho^2 + (z + L)^2]^{1/2}} \right] =$$



$$= -\frac{\sigma_L}{4\pi\epsilon_0} \left[ \sinh^{-1}\left(\frac{z-L}{\rho}\right) - \sinh^{-1}\left(\frac{z+L}{\rho}\right) \right]$$

O campo elétrico calcula-se, em coordenadas cilíndricas, a partir da  $\vec{E} = -\nabla\phi$ :

$$\left\{ \begin{array}{l} E_z = -\frac{\partial\phi}{\partial z} = \frac{\sigma_L}{4\pi\epsilon_0} \left[ \frac{1}{[\rho^2 + (z-L)^2]^{1/2}} - \frac{1}{[\rho^2 + (z+L)^2]^{1/2}} \right] \\ E_\rho = -\frac{\partial\phi}{\partial\rho} = -\frac{\sigma_L}{4\pi\epsilon_0\rho} \left[ \frac{z-L}{[\rho^2 + (z-L)^2]^{1/2}} - \frac{z+L}{[\rho^2 + (z+L)^2]^{1/2}} \right] \end{array} \right.$$

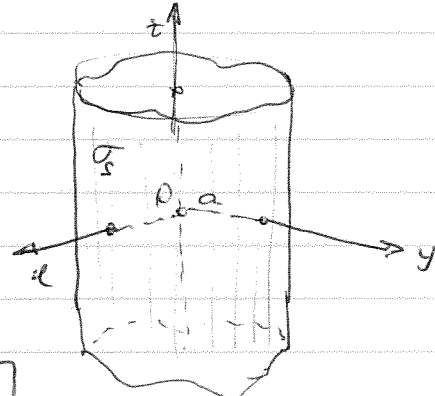
Para  $L \rightarrow \infty$ , o potencial diverge, e o campo elétrico tenderá para  $\vec{E} = \frac{\sigma_L}{2\pi\epsilon_0\rho} \hat{\rho}$ .

### Superfície cilíndrica uniformemente carregada

Suje a superfície cilíndrica de raio  $a$  a eixo  $z\hat{z}$ , carregada com densidade superficial  $\sigma_S$ . O círculo do potencial resulta directamente do campo elétrico, que é descrito por

$$[\rho < a : E_\rho(\rho) = 0]$$

$$[\rho > a : E_\rho(\rho) = \frac{\sigma_L}{2\pi\epsilon_0\rho}, \text{ com } \sigma_L = \sigma_S \cdot 2\pi a]$$



Assim:

$$[\rho < a : \phi = C \text{ (constante)}]$$

$$[\rho > a : \phi(\rho) - \phi(a) = -\frac{\sigma_L}{2\pi\epsilon_0} \ln \frac{\rho}{a}] \text{, o que identifica}$$

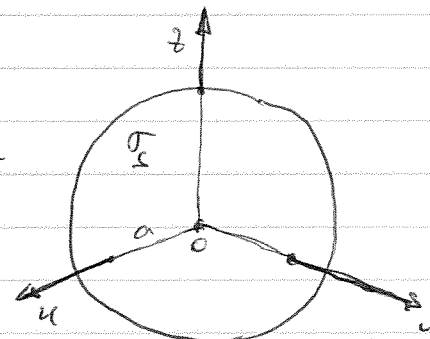
a constante como  $C = \phi(a)$  pela continuidade do potencial. Novamente, há divergência para  $\rho \rightarrow \infty$  para esta distribuição infinita de carga.

### Esféra condutora carregada

As cargas localizam-se à superfície, com densidade uniforme  $\sigma_S$  (por simetria), devido à repulsão entre elas. Assim, as distribuições de campo e de potencial serão as mesmas que para uma esfera condutora, quer para uma superfície esférica carregada. Considerando a esfera de raio  $a$  centrada na origem, tem:

$$[\rho < a : E(r) = 0]$$

$$\phi(r) = C \text{ (constante)}$$



$$r > a : E(r) = \frac{q}{4\pi\epsilon_0 r^2}, \text{ sendo } q = 4\pi a^2 \sigma$$

$$\left[ \phi(r) - \phi(\infty) = - \int_{\infty}^r E(r') dr' = \frac{q}{4\pi\epsilon_0 r} \right], \text{ sendo } \phi(\infty) = 0$$

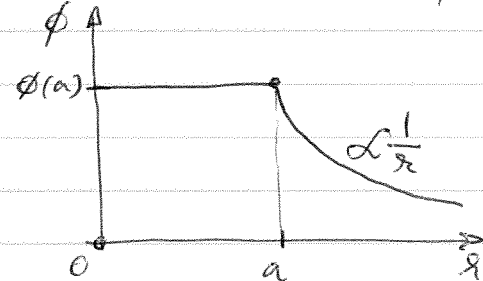
No fronteira  $r=a$ , pela continuidade do potencial, tem que

$$C = \frac{q}{4\pi\epsilon_0 a}$$

O potencial na superfície

vale  $\left[ \phi(a) = \frac{q}{4\pi\epsilon_0 a} \right]$ , enquanto

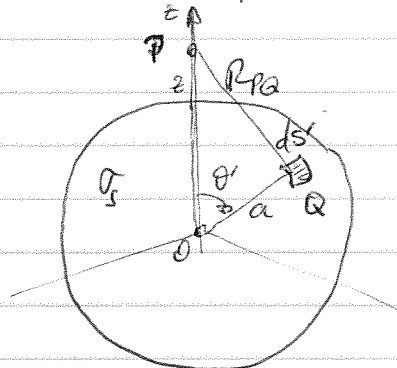
o campo elétrico à superfície se escreve  $E(a) = \frac{q}{4\pi\epsilon_0 a^2}$ ; assim,



resulta  $\phi(a) = E(a) \cdot a$ . Para um dado valor de  $E(a)$ , como, por exemplo, o valor máximo para que não exista dissipaçāo dissétrica no ar, resulta que o potencial da esfera pode ser aumentado através do aumento do raio  $a$ .

O cálculo do potencial da superfície esférica carregada uniformemente pode fazer diretamente a partir dessa distribuição de carga. Considerando, sem perda de generalidade, o ponto P no eixo z, o potencial elemental dividido à carga num elemento de área  $dS'$  localizado em  $Q(a, \theta', \phi')$  é

$$d\phi = \frac{\sigma_s a^2 \sin\theta' d\theta' d\phi'}{4\pi\epsilon_0 R_{PQ}}$$



sendo:  $R_{PQ}^2 = a^2 + z^2 - 2za \cos\theta'$

Desta relação vem:  $2R_{PQ} dR_{PQ} = 2za \sin\theta' d\theta'$

Assim, o potencial em P vale:

$$\phi = \left. \int_{a-z}^{a+z} \int_0^{2\pi} \frac{\sigma_s a}{4\pi\epsilon_0 r} dR_{PQ} d\phi' \right|_{|z-a|} = \frac{\sigma_s a}{2\epsilon_0 r} R_{PQ}$$

$$= \begin{cases} \frac{\sigma_s a^2}{\epsilon_0 r} = \frac{q}{4\pi\epsilon_0 r}, & r > a \\ \frac{\sigma_s a}{\epsilon_0} = \frac{q}{4\pi\epsilon_0 a}, & r < a \end{cases}$$

O campo elétrico vale  $\vec{E} = -\partial\phi/\partial r \hat{r}$ , donde:

$$\vec{E} = \begin{cases} \frac{\sigma_s a^2}{\epsilon_0 r^2} = \frac{q}{4\pi\epsilon_0 r^2}, & r > a \\ 0, & r < a \end{cases}$$

### - Esfera carregada uniformemente

O trabalho pode efectuar-se considerando a contribuição para o potencial num ponto da carga numa "casca esférica" de raio  $r' \in [0, a]$  e espessura  $dr'$ , com densidade superficial de carga  $\sigma_s = \sigma_v dr'$ , em que  $\sigma_v$  é a densidade volumétrica de carga na esfera. Assim:

$$\phi = \int_0^a \frac{\sigma_v r'^2 dr'}{\epsilon_0 r} = \frac{\sigma_v a^3}{3\epsilon_0 r} = \frac{q}{4\pi\epsilon_0 r}, \quad r > a$$

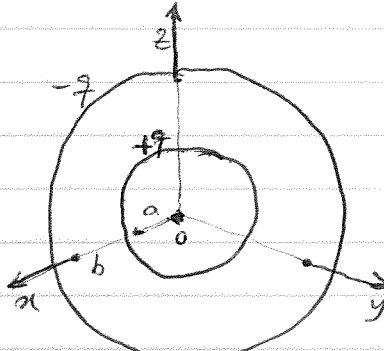
$$\phi = \int_0^r \frac{\sigma_v r'^2 dr'}{\epsilon_0 r} + \int_r^a \frac{\sigma_v r' dr'}{\epsilon_0 r} = \frac{\sigma_v}{2\epsilon_0} \left( a^2 - \frac{r^2}{3} \right) = \frac{3q}{8\pi\epsilon_0 a^3} \left( a^2 - \frac{r^2}{3} \right)$$

O campo eléctrico vale:

$$\vec{E} = -\frac{\partial \phi}{\partial r} \hat{r} = \begin{cases} \frac{q}{4\pi\epsilon_0 r^2}, & r > a \\ \frac{q r}{4\pi\epsilon_0 a^3}, & r < a \end{cases}$$

### - Condensador esférico

Considerar o condensador esférico representado na figura, com armaduras de raio  $a$  e  $b$  ( $b > a$ ) carregadas com cargas simétricas  $\pm q$ . O potencial pode calcular-se por simples subtração dos potenciais das duas superfícies esféricas carregadas:  $\phi(r) = \phi_a(r) + \phi_b(r)$

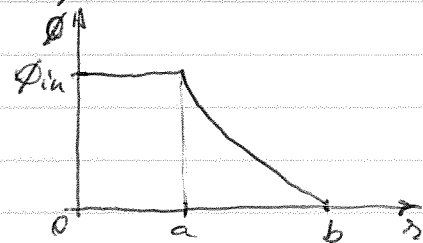


$$r < a : \phi(r) = \frac{q}{4\pi\epsilon_0 a} - \frac{q}{4\pi\epsilon_0 b} = \frac{q}{4\pi\epsilon_0} \left( \frac{b-a}{ab} \right) = \phi_{in}$$

$$b < r : \phi(r) = \frac{q}{4\pi\epsilon_0 r} - \frac{q}{4\pi\epsilon_0 b} = 0 \quad (\text{verificando } \phi(\infty) = 0)$$

$$a < r < b : \phi(r) = \frac{q}{4\pi\epsilon_0 a} - \frac{q}{4\pi\epsilon_0 b} = \frac{q}{4\pi\epsilon_0} \left( \frac{b-a}{b r} \right)$$

Notar que a carga  $-q$  da armadura externa promove a blindagem do campo eléctrico no exterior do condensador ( $r > b$ ); como o potencial do infinito foi conser-



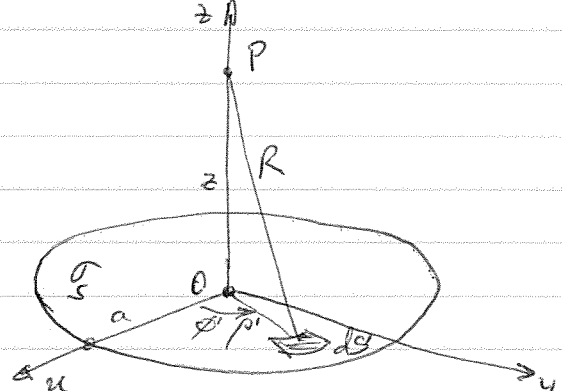
devido unicamente às expressões de  $\phi_{a,b}(r)$ , todo o exterior do condensador estará a um potencial.

→ Disco circular carregado uniformemente: potencial no eixo da simetria normal

O potencial  $d\phi$  criado por um elemento de carga  $\sigma_s dS'$  situado no ponto  $(\rho', \phi', 0)$  no ponto  $P(0, 0, z)$  vale

$$d\phi = \frac{1}{4\pi\epsilon_0} \frac{\sigma_s \rho' d\rho' d\phi'}{R}$$

sendo  $R^2 = \rho'^2 + z^2$ . Integrando em  $\phi'$ , de 0 a  $2\pi$ , obtém-se o potencial  $d\phi$  de um anel elementar de carga, de raio  $\rho'$  e largura  $d\rho'$ :  $d\phi = \frac{\sigma_s \rho' d\rho'}{2\epsilon_0 R}$



Integrando agora em  $\rho'$ :

$$\phi(0, 0, z) = \frac{\sigma_s}{2\epsilon_0} \int_0^a \frac{\rho' d\rho'}{\sqrt{\rho'^2 + z^2}} = \frac{\sigma_s}{2\epsilon_0} \left[ \sqrt{a^2 + z^2} - \sqrt{z^2} \right]$$

Como deve ser  $\phi \rightarrow 0$  para  $a \rightarrow 0$ , vem:

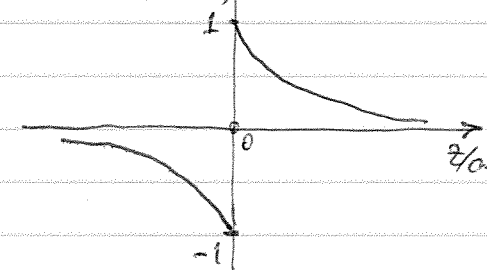
$$\phi(0, 0, z) = \begin{cases} \frac{\sigma_s}{2\epsilon_0} \left[ +\sqrt{a^2 + z^2} - z \right], & z > 0 \\ \frac{\sigma_s}{2\epsilon_0} \left[ +\sqrt{a^2 + z^2} + z \right], & z < 0 \end{cases}$$

ou, mais simplesmente:

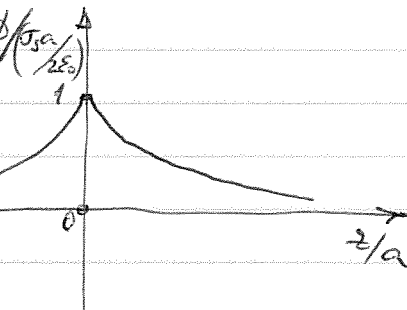
$$\boxed{\phi(z) = \frac{\sigma_s}{2\epsilon_0} \left[ +\sqrt{a^2 + z^2} - |z| \right]}$$

Enquanto se verifica discontinuidade da  $\vec{E}$  em  $z=0$ , não há discontinuidade de  $\phi$  no plano do disco.

$$E_z \left( \frac{\sigma_s}{2\epsilon_0} \right)$$



$$\phi \left( \frac{\sigma_s}{2\epsilon_0} \right)$$

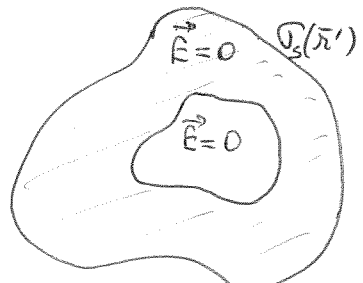


Um condutor contém portadores de carga que se podem mover, com maior ou menor liberdade e devido à aplicação de um campo elétrico (num condutor metálico, esses portadores são elétrões). Em certas condições, os elétrões podem abandonar a superfície externa do corpo condutor:

- quando a superfície é iluminada adequadamente, ocorre o efeito fotoelétrico;
- quando o corpo é aquecido a temperatura elevada, ocorre o efeito termoelétrico;
- quando o campo elétrico é muito elevado, ocorre emissão por efeito da campo.

Nas condições verificadas que mantêm na emissão superficial<sup>[\*]</sup>, os portadores de carga não podem abandonar o condutor. Ocorre equilíbrio elostático se não houver redistribuição de carga, ao longo do tempo, a nível macroscópico.

Considere-se uma cavidade vazia num corpo condutor. A superfície que limita a cavidade é uma superfície equipotencial; não existindo extremos de potencial no interior da cavidade vazia, o potencial deve ser constante nessa cavidade e deverá ser nulo o campo na cavidade. A densidade superficial de carga na superfície que limita a cavidade também é nula pois, sendo o campo elétrico nulo, quer no interior quer no exterior da superfície, a componente normal de  $\vec{E}$  é contínua na superfície.



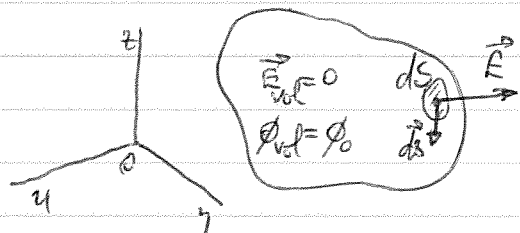
[\*] N.D. Lang, W. Kohn: Theory of metal surfaces: charge density and surface energy, Phys. Rev. B1, 4555-4568 (1970)

Theory of metal surfaces: work function, Phys. Rev. B3, 1215-1223 (1971)

V. E. Kennedy, R.E. Allen, W.M. Saslow, Screening of external fields and distribution of excess charge near a metal surface, Phys. Lett. 38A, 255-256 (1972)

## 2.5. Potencial e Campo no volume e na superfície de um condutor fechado. Distribuição superficial da carga.

Nun condutor carregado, é dividido à repulsão coulombiana, as cargas elétricas, em equilíbrio estático, distribuem-se na superfície do condutor. Assim, a densidade volumétrica de carga no condutor é nula. Recorrendo à lei de Gauss, conclui-se de imediato que o campo elétrico no interior do volume do condutor deve ser nulo, e que na superfície do condutor vale  $E_{\text{sup}} = \sigma/\epsilon_0 \hat{n}$ . Daqui deduz-se que o potencial no interior do volume do condutor será constante,  $\phi_v = \phi_0$ . Considerando um deslocamento elementar na superfície do condutor, a diferença de potencial elementar correspondente será  $E_{\text{sup}} \cdot d\vec{s} = 0$ , pois  $E_{\text{sup}}$  é normal a  $d\vec{s}$ . Assim, o potencial na superfície de um condutor fechado é constante, e igual ao potencial do seu volume interno  $\phi_0$ .

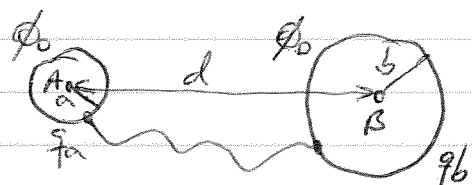
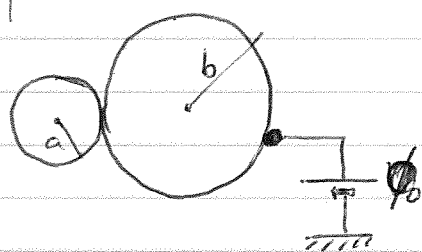


E' interessante analisar a distribuição superficial da carga (e correspondente grandeza do campo elétrico na superfície do condutor) relativamente à forma da superfície.

Para tal, considere-se duas esferas condutoras de raio  $a, b$  ( $b > a$ ) que foram carregadas quando em contacto (ou seja, coloradas ao mesmo potencial  $\phi_0$  da fonte de carga, ver figura).

Após a carga, as esferas foram afastadas suficientemente para se poder assumir que as cargas

$q_a$  e  $q_b$  se distribuem uniformemente nas respectivas superfícies, mantendo-se as esferas equipotenciais,  $\phi_a = \phi_b = \phi_0$  (ligadas por condutores).



O potencial elétrico nos centros A, B das esferas pode calcular-se por superposição dos potenciais das esferas com cargas  $q_a, q_b$ , sendo  $d$  a distância entre centros:

$$\phi_A = \frac{1}{4\pi\epsilon_0} \left( \frac{q_a}{a} + \frac{q_b}{d} \right)$$

$$\phi_B = \frac{1}{4\pi\epsilon_0} \left( \frac{q_a}{d} + \frac{q_b}{b} \right)$$

Como  $\phi_A = \phi_B$ , tem:  $\frac{q_a}{a} + \frac{q_b}{d} = \frac{q_a}{d} + \frac{q_b}{b}$

ou seja,  $q_a\left(\frac{1}{a} - \frac{1}{d}\right) = q_b\left(\frac{1}{b} - \frac{1}{d}\right)$ , donde  $\frac{q_a}{q_b} = \frac{a(d-b)}{b(d-a)}$

Sendo  $b > a$ , resulta  $q_b > q_a$ , ou seja, a esfera de maior raio acumula maior carga a um dado potencial  $\phi$ , como é lógico. Calculando as densidades de carga nas superfícies das esferas,  $\sigma_a = \frac{q_a}{4\pi a^2}$  e  $\sigma_b = \frac{q_b}{4\pi b^2}$ , resulta

$$\boxed{\frac{\sigma_a}{\sigma_b} = \frac{b}{a} \frac{(d-b)}{(d-a)}}$$

Sendo  $b > a$ , tem-se  $\sigma_a > \sigma_b$ , ou seja, a esfera de maior raio tem menor densidade superficial de carga.

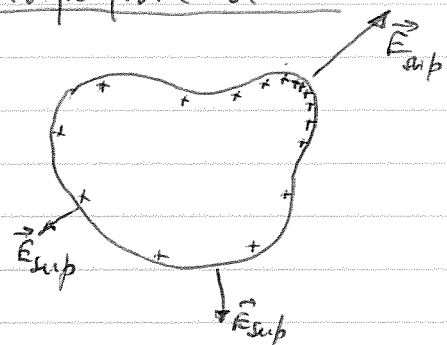
De forma intuitiva e qualitativa, esta conclusão aplica-se à distribuição da carga na superfície de um condutor fechado, de forma arbitrária.

As zonas da superfície do condutor com menor raio de curvatura têm maior densidade superficial de carga.

Atendendo à relação entre  $\sigma_s$  e a grandezza do campo elétrico  $E_{\text{surf}}$  ( $E_{\text{surf}} = \sigma_s/\epsilon_0$ ), conclui-se que é nessas

zonas que o campo elétrico é mais intenso (o que se designa tradicionalmente por "poder de ponta"). Considerando o condutor no ar (ou num gas, ou líquido isolante), sendo o campo elétrico suficientemente elevado, pode ocorrer ionização do ar (ou de seu isolante).

Quando se um caminho condutor elétrico que promove a descarga do condutor inicialmente carregado. A utilização em eletrônicos de descarga é bem conhecida, finando partido da dissipação dielétrica do ar que se verifica com campos elétricos da ordem de  $3 \times 10^6 \text{ V/m}^2$  (ar seco).



## 2.6. Superfícies equipotenciais

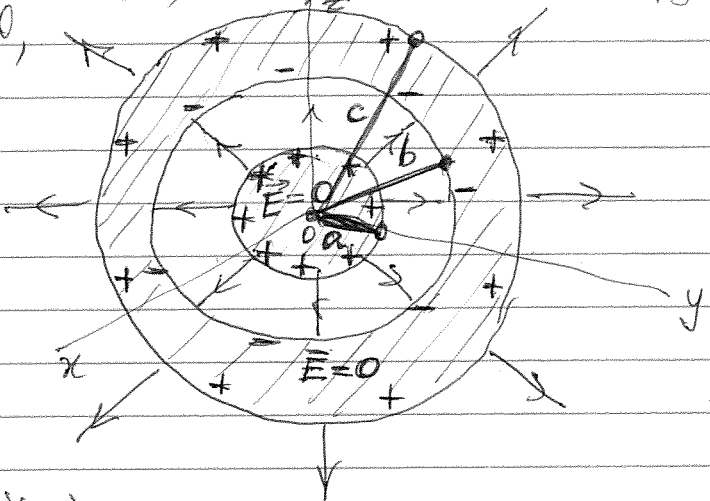
As superfícies equipotenciais são o lugar geométrico dos pontos cujo potencial elétrico é constante,  $\phi(x) = \text{constante}$ . Considerando o potencial de uma carga pontual, resulta

Exemplo: Considere-se uma esfera condutora (raio  $a$ , carga  $q$ ) centrada na origem, rodeada por uma "casca esférica" sem carga (raio interno  $b$ , raio externo  $c$ ;  $b > a$ ), como mostra a figura. Conforme analisado na Seção 10.10, o campo elétrico resultante tem a seguinte descrição:

$$\vec{E}(r) = E(r) \hat{r}$$

sendo:

$$E(r) = \begin{cases} 0, & r < a \\ q/(4\pi\epsilon_0 r^2), & a < r < b \\ 0, & b < r < c \\ q/(4\pi\epsilon_0 r^2), & c < r \end{cases}$$



• Recalculando o potencial elétrico:

$$\phi(r) = - \int \vec{E}(r') \cdot d\vec{r}' = - \int E(r) dr ; \text{ donde:}$$

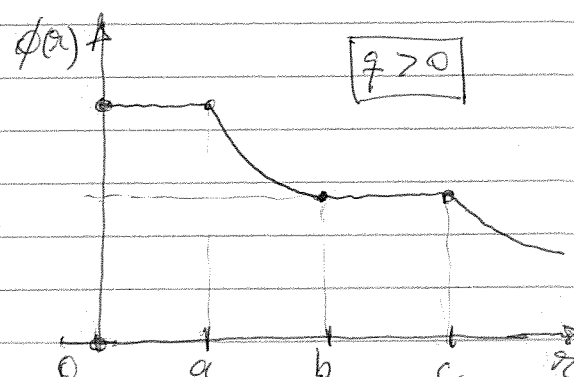
$$\phi(r) = \begin{cases} C_1, & r < a \\ q/(4\pi\epsilon_0 r) + C_2, & a < r < b \\ C_3, & b < r < c \\ q/(4\pi\epsilon_0 r) + C_4, & c < r \end{cases} \quad (C_i: \text{constantes})$$

A determinação das constantes  $C_i$  resulta da condição de continuidade do potencial elétrico e da escolha da referência do potencial.

• Tomando a referência do potencial no infinito como zero (o que é adequado, dada a distribuição espacialmente limitada da carga), resulta:  $C_4 = 0$ .

- Da continuidade do potencial em  $r=c$ , conclui-se que:  $C_3 = q/(4\pi\epsilon_0 c)$ .
- Na fronteira  $r=b$ , o potencial é também contínuo, donde:  $C_3 = q/(4\pi\epsilon_0 c) = q/(4\pi\epsilon_0 b) + C_2$ ; assim:  $C_2 = [q/(4\pi\epsilon_0)](1/c - 1/b)$ .
- Novamente, a continuidade do potencial em  $r=a$  implica:  $C_1 = [q/(4\pi\epsilon_0 a)] + C_2 = [q/(4\pi\epsilon_0)](1/a + 1/c - 1/b)$ . Assim:

$$\phi(r) = \left[ q/(4\pi\epsilon_0) \right] \times \begin{cases} 1/r, & c \leq r \\ 1/c, & b \leq r < c \\ 1/a + 1/c - 1/b, & a \leq r < b \\ 1/a + 1/c - 1/b, & 0 \leq r < a \end{cases}$$



A referência do potencial elétrico pode, contudo, ser alterada, modificando a

[2.116]

descrição de  $\phi(r)$ . Admita-se, então, que a superfície externa da "casca condutora" foi ligada à terra (potencial nulo). Assim, o potencial no exterior do sistema é nulo.

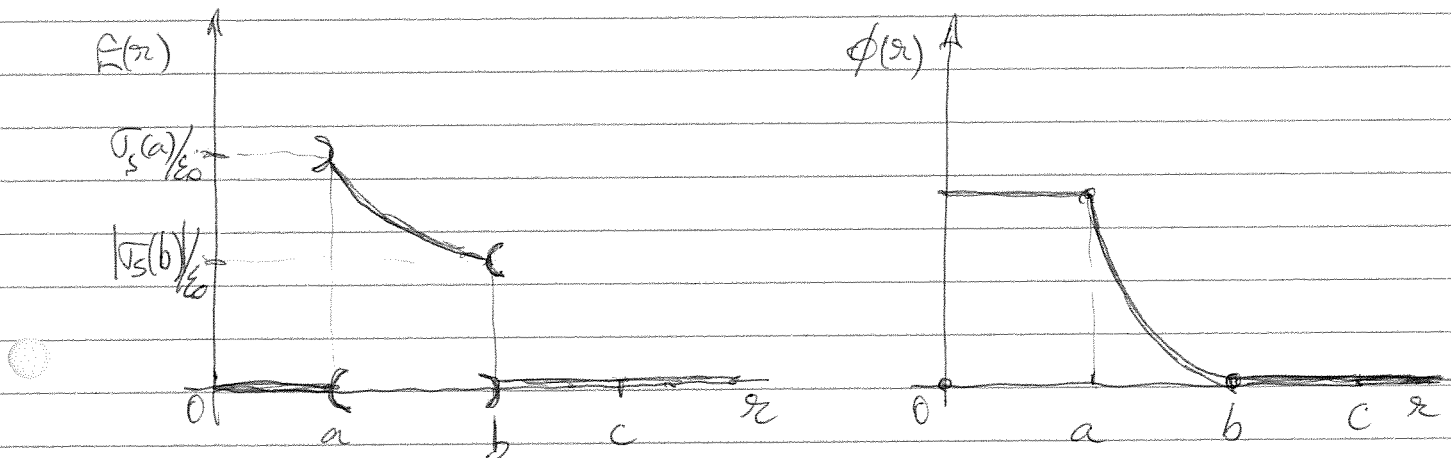
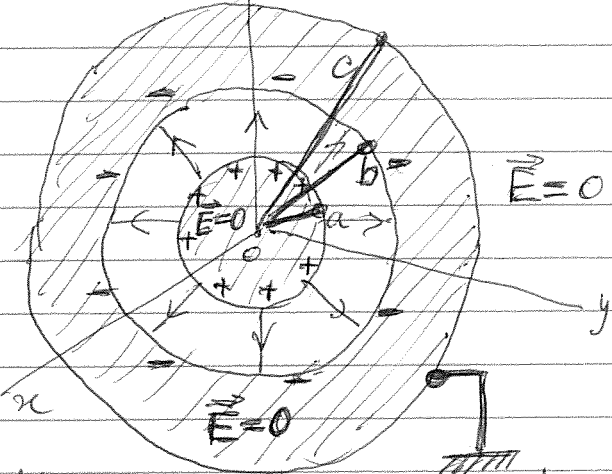
A "casca esférica" carrega-se agora elétricamente na sua superfície interna, com uma carga total  $-q$  simétrica da carga na esfera de raio  $a$ .

Essa carga  $-q$  é proveniente da terra (depósito ideal inesgotável de carga, cujo potencial não varia com essa extração).

As densidades superficiais de carga são:

• de carga, sendo tomado como nulo), e situa-se na superfície interna ( $r=b$ ) da "casca esférica" (atraída pela carga simétrica da esfera de raio  $a$ ). O campo elétrico é nulo no interior dos dois condutores.

$$\sigma_s(a) = +\frac{q}{(4\pi a^2)} \quad ; \quad \sigma_s(b) = -\frac{q}{(4\pi b^2)}$$



$$E(r) = \begin{cases} 0, & r < a \\ \frac{q}{(4\pi\epsilon_0 r^2)}, & a < r < b \\ 0, & b < r \end{cases}$$

$$\phi(r) = \begin{cases} C'_1, & r \leq a \\ \frac{q}{(4\pi\epsilon_0 r)} + C'_2, & a \leq r < b \\ C'_3, & b \leq r \end{cases}$$

- $b \leq r$ :  $C'_3 = 0$
- $r = b$ :  $\frac{q}{(4\pi\epsilon_0 b)} + C'_2 = 0$ ;  $C'_2 = -\frac{q}{(4\pi\epsilon_0 b)}$
- $r = a$ :  $C'_1 = \frac{q}{(4\pi\epsilon_0 a)} + C'_2 =$   
 $= \left[ \frac{q}{(4\pi\epsilon_0)} \right] \left( \frac{1}{a} - \frac{1}{b} \right)$

imediatamente que ele varia sem discontinuidades no espaço, sendo as superfícies equipotenciais fechadas. Tal concretiza-se, por exemplo, ao caso de distribuições ambientes da carga.

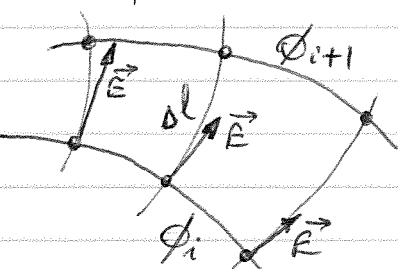
Dada a relação entre o campo elétrico e o potencial,  $\vec{E} = -\nabla\phi$ , resulta que as linhas de força do campo elétrico são normais às superfícies equipotenciais. Os pontos em que a derivada de  $\phi$  em qualquer direção é nula (máximos, mínimos ou pontos de inflexão de  $\phi(z)$ ) correspondem a campo elétrico nulo. Nas regiões de máximos ou mínimos, existem distribuições de carga positiva ou negativa, respectivamente. Nos pontos de inflexão, o potencial é crescente em certas orientações, e decrescente noutras, a partir desse ponto (ponto de sela).

A representação das superfícies equipotenciais, em sua interacção com o plano de desenho (linhas equipotenciais), faz-se de acordo com uma convenção de representação, tal como acontece com a representação das linhas de força do campo elétrico. Assim, representam-se as superfícies (ou linhas) equipotenciais mantendo um valor constante da diferença de potencial entre superfícies (ou linhas) vizinhas:  $\phi_{i+1}(r) - \phi_i(r) = \Delta\phi$  constante.

A convenção de representar adoptada permite estimar facilmente a grandeza do campo elétrico, para lá da sua orientação (direcção e sentido). Ademais, como  $\vec{E} = -\nabla\phi$ , vem da definição de gradiente que:

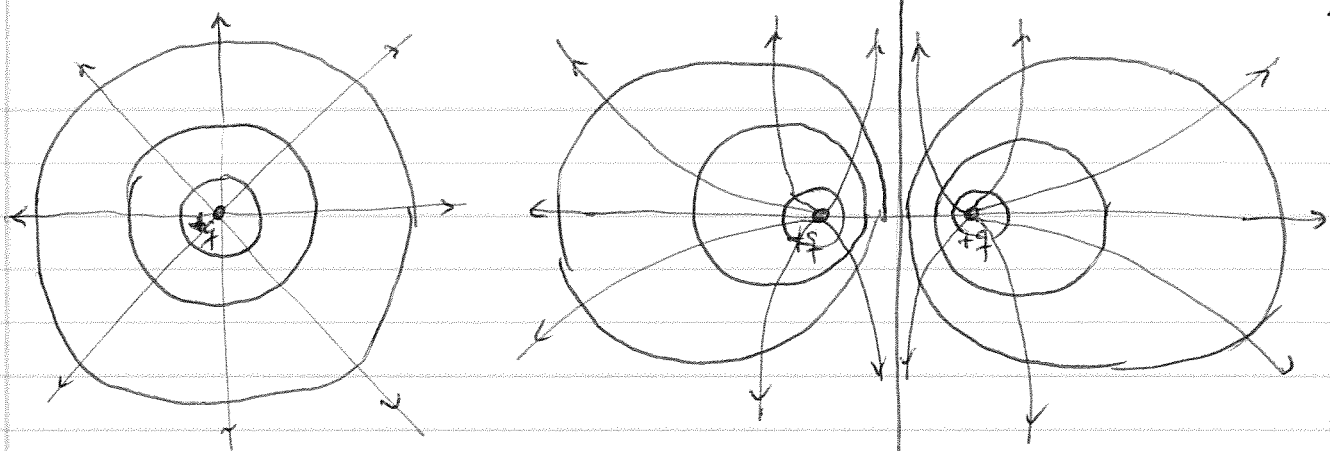
$$|\vec{E}| \approx \frac{|\Delta\phi|}{\Delta l}, \text{ em que } \Delta l \text{ é}$$

a distância local entre equipotenciais vizinhos. O campo elétrico é mais elevado nas regiões em que o afastamento entre as superfícies equipotenciais é menor.

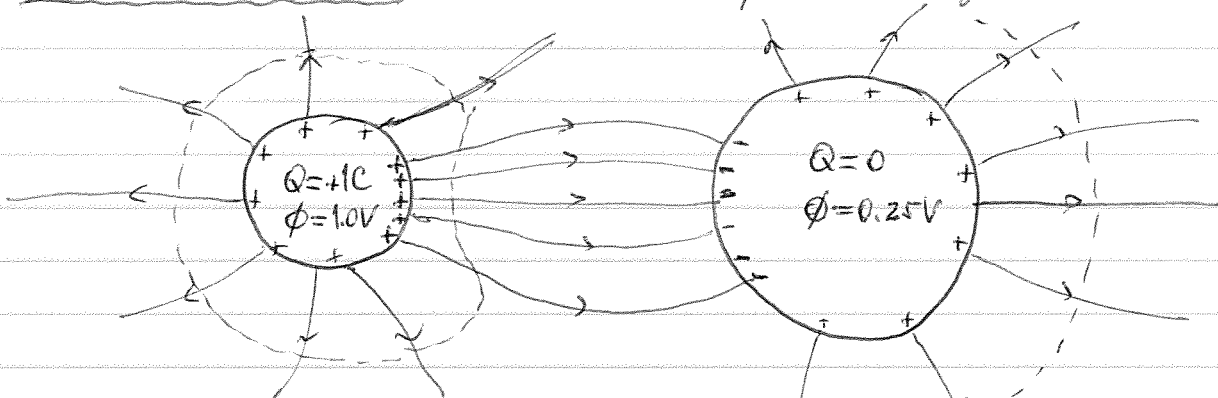


$$\begin{aligned} \phi_{i+1} &< \phi_i \\ \Delta\phi &= \phi_{i+1} - \phi_i \leq 0 \end{aligned}$$

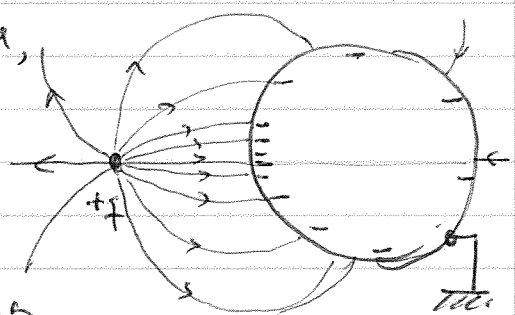
As figuras seguintes ilustram duas situações simples em que se representa simultaneamente linhas equipotenciais e linhas de força do campo elétrico.



A figura seguinte ilustra uma situação mais complexa, envolvendo duas esferas condutoras. Note-se a não-uniformidade das distribuições de carga nas superfícies, em particular a distribuição de cargas positivas e negativas na esfera da direita (cuja carga total é nula). Atente-se, ainda, na existência de linhas de força do campo elétrico entre as esferas, ligando cargas superficiais  $S_{1,2}$  desse tipo, bem como linhas de força estendendo-se para o infinito (o potencial é nulo no infinito, de onde foi retirada uma carga positiva de  $+1C$ , correspondente à carga total das duas esferas). A esfera da direita apresenta uma distribuição superficial de carga do "tipo dipolar", devido à "influência eletrostática" da outra esfera carregada.



A figura mostra o efeito de uma carga pontual positiva e uma esfera condutora ao potential nulo (ligada à terra). A esfera carrega, não-uniformemente, com cargas negativas, por "influência eletrostática" da carga pontual positiva  $+q$ .



O traçado rigoroso das linhas de força e os potenciais resulta da solução das equações de Laplace

e de Poisson, disentidas adiante, para uma situações geral. Considere-se aqui, como exemplo do cálculo direto, o potencial criado por um segmento de reta carregado uniformemente, centrado na origem e abrangendo com  $2L$ .

Vem:

$$\phi(P) = \frac{\sigma_L}{4\pi\epsilon_0} \ln \left[ \frac{z + L + r_1}{z - L + r_2} \right]$$

conforme cálculo na seção 2.4.

Definindo:  $\begin{cases} z_1 = z + L \\ z_2 = z - L \end{cases}$

vem:

$$\phi(P) = \frac{\sigma_L}{4\pi\epsilon_0} \ln \left[ \frac{z_1 + r_1}{z_2 + r_2} \right]$$

Assim, as superfícies equipotenciais são definidas por

$$\frac{z_1 + r_1}{z_2 + r_2} = C \text{ (constante)}$$

(adiante mostraremos que deve ser  $C > 1$ )

Dnde:  $r_1 - Cr_2 = -z_1 + Cz_2$ , e ainda  $z_1 + r_1 = C(z_2 + r_2)$ .

Como:  $\rho^2 = r_1^2 - z_1^2 = r_2^2 - z_2^2$

resulta, por divisão ordinada:

$$\frac{r_1^2 - z_1^2}{r_1 + z_1} = \frac{r_2^2 - z_2^2}{C(r_2 + z_2)}, \text{ dnde } r_1 - z_1 = \frac{1}{C}(z_2 - z_1),$$

ou seja:  $Cr_1 - r_2 = Cz_1 - z_2$

Subtraindo ordinadamente  $\begin{cases} r_1 - Cr_2 = -z_1 + Cz_2 \\ Cr_1 - r_2 = Cz_1 - z_2 \end{cases}$   
resulta:

$$(C-1)(r_1 + r_2) = (C+1)(z_1 - z_2) = (C+1)2L$$

Definindo uma nova constante  $K_z$  como

$$K_z = L \frac{C+1}{C-1}$$

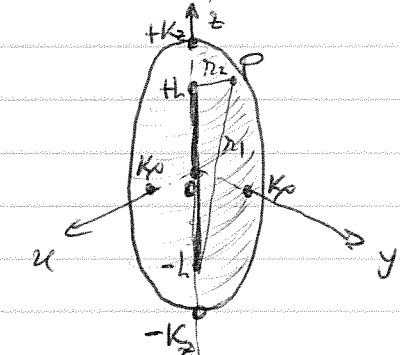
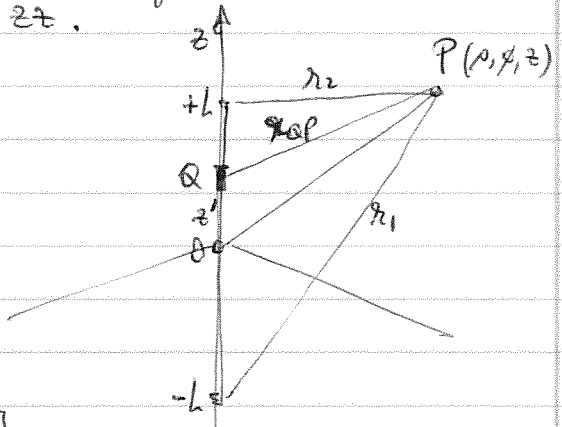
Vem:  $|r_1 + r_2 = 2K_z|$

que é a equação de um elipsóide de revolução, com eixo maior segundo  $z$  de comprimento  $2K_z$ , e com focos em  $(0, 0, \pm L)$ .

O potencial nesse elipsóide vale

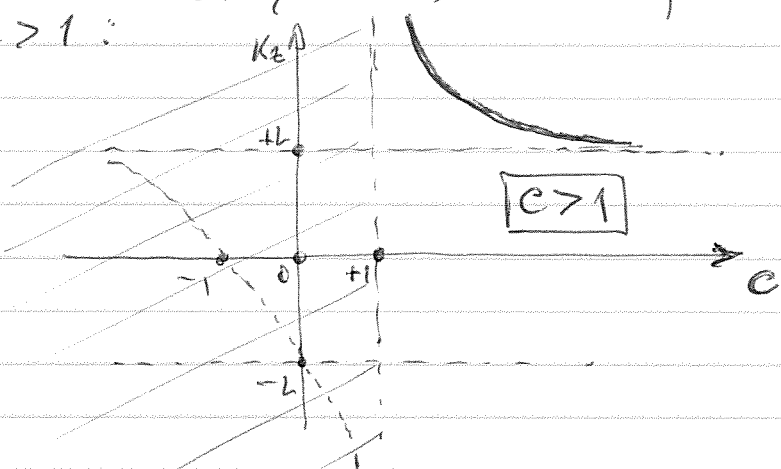
$$\phi(K_z) = \frac{\sigma_L}{4\pi\epsilon_0} \ln C = \frac{\sigma_L}{4\pi\epsilon_0} \ln \left[ \frac{K_z + L}{K_z - L} \right]$$

O semi-eixo menor da elipse geratriz



Vale:  $K_p = \sqrt{K_2^2 - L^2}$

Como se deve ter  $K_2, K_p > 0$ , resulta que deve ser  $K_2 > L$  e  $C > 1$ :

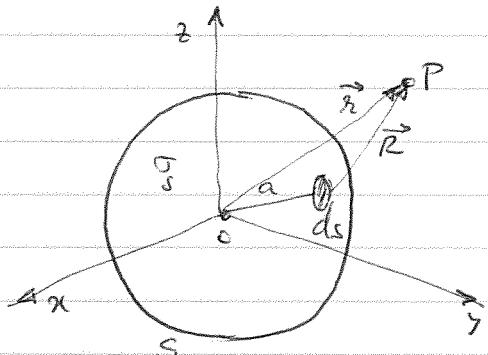


## 2.7. Teorema de Barnshaw

Seja uma superfície esférica  $S$  de raio  $a$ , contendo uma carga uniformemente distribuída com densidade superficial  $\sigma_s$ . Para um ponto  $P(r)$  no exterior da superfície esférica, e sendo  $q = 4\pi a^2 \sigma_s$ , o campo elétrico e o potencial escrevem-se:

$$\vec{E} = \frac{1}{4\pi\epsilon_0 r^2} \frac{q}{r} \hat{r}$$

$$\phi = \frac{1}{4\pi\epsilon_0 r} \frac{q}{r}$$



Como:  $\phi = \frac{1}{4\pi\epsilon_0} \int_S \frac{\sigma_s ds}{R} = \frac{q}{4\pi a^2} \int_S \frac{ds}{4\pi\epsilon_0 R}$

tem que:

$$\frac{q}{4\pi\epsilon_0 r} = \frac{1}{4\pi a^2} \int_S \frac{q ds}{4\pi\epsilon_0 R}$$

Este resultado pode ser interpretado de uma forma interessante. Assim, e considerando uma carga puntual  $q$  situada em  $P$ , o potencial no centro da esfera ( $O$ ) é dado pelo 1º membro da igualdade anterior; o 2º membro é o potencial médio  $\langle \phi \rangle$  sobre a superfície esférica, devido à carga  $q$  situada em  $P$ . Diz-se o valor médio do potencial criado pela carga  $q$ , situada em  $P$ , sobre a superfície esférica é o potencial dessa carga no centro da esfera. Tal é válido, generali-

Zando, por sobreposições, para qualquer distribuição de carga no exterior da esfera.

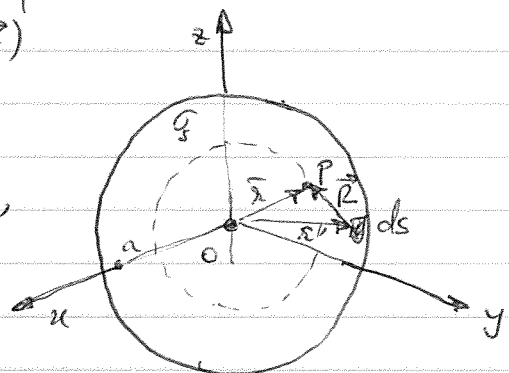
Desto resultado deriva uma conclusão importante. Seja uma região do espaço em que a densidade volumétrica de carga é nula ( $\sigma_r = 0$ ), e que contém um ponto  $O$  em que, supostamente, o potencial é máximo. Então, o valor médio  $\langle \phi \rangle$  do potencial sobre uma superfície esférica centrada em  $O$  deve ser inferior a  $\phi(O)$ ; pela análise anterior, tal não é verdadeiro, contudo (pois se verifica igualdade do potencial em  $O$  e no valor médio  $\langle \phi \rangle$ ). Se igualmente, para a hipótese de mínimo do potencial em  $O$ . Assim, uma região livre de cargas, não pode ocorrer nem máximo nem mínimo do potencial (teorema de Earnshaw). Um pico de potencial (capaz de capturar cargas eléticas) não pode ser construído numa região espacial sem cargas, a partir de um campo electrostático.

Seja novamente uma carga  $q$  uniformemente distribuída sobre uma superfície esférica  $S$  de raio  $a$ . O campo elétrico  $E$  num ponto  $P(r)$  interior é nulo:  $E_\theta = E_\phi = 0$  por simetria, e usando uma superfície de Gauss esférica de raio  $r < a$ , conclui-se que também  $E_r = 0$ .

Assim, o potencial no interior da esfera de raio  $a$  é o potencial na sua superfície, ou seja,  $q/4\pi\epsilon_0 a$ . Assim, num ponto  $P(r)$  interior, tem-se

$$\phi(P) = \frac{q}{4\pi\epsilon_0 a} = \int \frac{\sigma dS}{4\pi\epsilon_0 R} = \frac{1}{4\pi a^2} \int \frac{q dS}{4\pi\epsilon_0 R}$$

Conclui-se que  $\phi(P)$  é igual ao potencial médio  $\langle \phi \rangle$  sobre uma superfície esférica de raio  $a$  criado por uma carga pontual  $q$  situada em  $P$ . Esse valor médio  $\langle \phi \rangle$  é independente da posição da carga no interior da esfera. Tal pode generalizar-se, reconhecendo as propriedades de sobreposição, a qualquer distribuição de carga no interior da superfície esférica  $S$ .



## 2.8. Ecuaciones de Laplace e de Poisson

Da lei de Gauss na forma diferencial,

$$\epsilon_0 \nabla \cdot \vec{E} = \sigma$$

e da relación entre campo eléctrico e potencial,

$$\vec{E} = -\nabla \phi$$

resulta inmediatamente que

$$\epsilon_0 \nabla \cdot (-\nabla \phi) = -\epsilon_0 \nabla \cdot \nabla \phi = -\nabla^2 \phi$$

que se designa por ecuación de Poisson:

$$\epsilon_0 \nabla^2 \phi = -\sigma_v$$

Trata-se de una relación local entre a densidad volumétrica de carga  $\sigma_v(\vec{r})$  e as segundas derivadas do potencial  $\phi(\vec{r})$ .

Em regiões em que a densidade de carga é nula, vêm imediatamente a ecuación de Laplace:

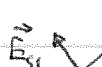
$$\nabla^2 \phi = 0$$

A solucionar de um problema de Electrostática no vácuo corresponde, assim, a integrar as ecuaciones de Laplace ou de Poisson, obtendo-se soluções que satisfazem as condicións fronteira.

Considera-se o caso, muito geral, em que há cargas nas superficies de um conjunto de condutores situados no vácuo. No espaço exterior aos condutores  $\nabla^2 \phi = 0$ . Nas fronteiras (superficies dos condutores, infinito) podem ser estabelecidos dois tipos de condicións:

- nos potenciais dos condutores,  $\phi_j$  (as superficies dos condutores em equilibrio estatico são equipotenciais, e o volume interior aos condutores este também ao potencial da superficie,  $\phi_j$ ). Tal corresponde ao "problema de Dirichlet"

- nas densidades superficiais de carga  $\sigma_j(\vec{r}_{sj})$  na superficie dos condutores; do valor de  $\sigma_j(\vec{r}_{sj})$  resulta directamente o campo eléctrico na superficie,  $\vec{E}_{sj}(\vec{r}_{sj}) = \sigma_j(\vec{r}_{sj})/\epsilon_0$ , ou seja, o valor do gradiente do potencial na superficie  $\partial \phi / \partial n(\vec{r}_{sj})$ . Tal respeita ao "problema de Neumann".



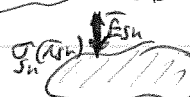
$$\vec{E}_{s1}$$

$$\sigma_1(\vec{r}_{s1})$$



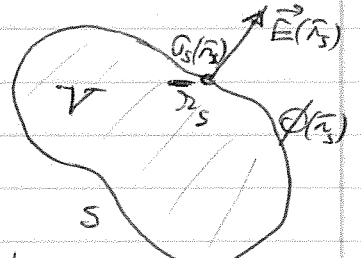
$$\vec{E}_{sj}$$

$$\sigma_j(\vec{r}_{sj})$$



Este "problema eletrostático geral", que consiste em determinar o potencial  $\phi$  que satisfaça a equação da Laplace e as condições nas fronteiras condutoras e no infinito, tem solução única, como se demonstra. Para tal, considere-se um condutor de volume  $V$  limitado pela superfície  $S$ , sendo dado o potencial nessa superfície,  $\phi(\vec{r}_S)$ , ou em alternativa, a densidade superficial de carga  $\sigma(\vec{r}_S)$  — o que é equivalente a fixar o campo elétrico em  $S$ , pois  $\vec{E}(\vec{r}_S) = \frac{\partial \phi}{\partial n} \hat{n}(\vec{r}_S) = \sigma_S(\vec{r}_S)/\epsilon_0 \hat{n}(\vec{r}_S)$ . Dada a linearidade do problema, o caso de vários condutores pode ser abordado por sobreposição.

Discretemos, em primeiro lugar, o "problema interno" da determinação de  $\phi(\vec{r})$  tal que  $\phi(\vec{r}_S)$  ou  $\frac{\partial \phi}{\partial n}(\vec{r}_S)$ , em alternativa, são impostas na fronteira  $S$ . Se houvesse duas soluções distintas  $\phi_1(\vec{r}) \neq \phi_2(\vec{r})$  no domínio de  $S$  e seu espaço interior  $V$ , entao a função  $\tilde{\phi}(\vec{r}) = \phi_1(\vec{r}) - \phi_2(\vec{r})$  verificaria:



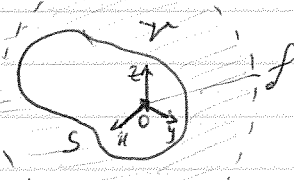
$$\begin{cases} \nabla^2 \tilde{\phi}(\vec{r}) = \nabla^2 \phi_1(\vec{r}) - \nabla^2 \phi_2(\vec{r}) = 0 \text{ em } V \\ \tilde{\phi}(\vec{r}_S) = 0 \text{ ou } \frac{\partial \tilde{\phi}}{\partial n}(\vec{r}_S) = 0 \text{ em } S \end{cases}$$

Como  $\nabla \cdot \frac{\partial \tilde{\phi}}{\partial n} = (\nabla \tilde{\phi}) \cdot \hat{n}$  da definição de gradiente, vem (sendo  $\tilde{\phi}$  e suas derivadas contínuas, por aplicação do teorema de Gauss e de identidades vectoriais):

$$\begin{aligned} \int_S \tilde{\phi} \frac{\partial \tilde{\phi}}{\partial n} dS &= \int_S (\nabla \tilde{\phi}) \cdot \hat{n} dS = \int_V \nabla \cdot (\nabla \tilde{\phi}) dV = \int_V (\nabla \cdot \nabla \tilde{\phi} + \nabla \tilde{\phi} \cdot \nabla \tilde{\phi}) dV \\ &= \int_V (\tilde{\phi} \nabla^2 \tilde{\phi} + |\nabla \tilde{\phi}|^2) dV = \int_V |\nabla \tilde{\phi}|^2 dV = 0 \text{ (em resultado das condições sobre } \tilde{\phi}(\vec{r}) \text{ ou } \frac{\partial \tilde{\phi}}{\partial n}(\vec{r}_S) \text{ acima).} \end{aligned}$$

Como o integrando  $|\nabla \tilde{\phi}|^2$  é não-negativo, tal implicia que  $\nabla \tilde{\phi} = 0$  em  $V$ , donde  $\tilde{\phi} = C$  (constante) em  $V$ . Se  $\tilde{\phi}(\vec{r}) = 0$  (problema de Dirichlet), então  $C = 0$  e  $\tilde{\phi} = 0$  em  $V$ , ou seja,  $\phi_1(\vec{r}) = \phi_2(\vec{r})$  em  $V$ . Se  $\frac{\partial \tilde{\phi}}{\partial n}(\vec{r}_S) = 0$  (problema de Neumann), então  $C$  é indeterminado, e resulta  $\phi_1(\vec{r}) = \phi_2(\vec{r}) + \text{constante}$  (solução não esteticamente única, mas diferindo apenas por uma constante arbitrária da outra solução).

No "problema exterior", a equação da Laplace  $\nabla^2 \phi = 0$  deve ser verificada, sendo  $\phi(\vec{r}_S)$  constante sobre  $S$ , podendo ser especificadas, em alternativa,  $\phi(\vec{r}_S)$  ou  $\frac{\partial \phi}{\partial n}(\vec{r}_S)$ . Prostremos que a solução é única (no sentido anterior) por um processo análogo, sendo aqui necessário atender ao comportamento de  $\phi$  no infinito. Para tal, consideremos a superfície  $S$  e uma superfície esférica  $L$  centrada num ponto qualquer, e o domínio  $V$  entre  $S$  e  $L$ . As condições fronteira



2018a

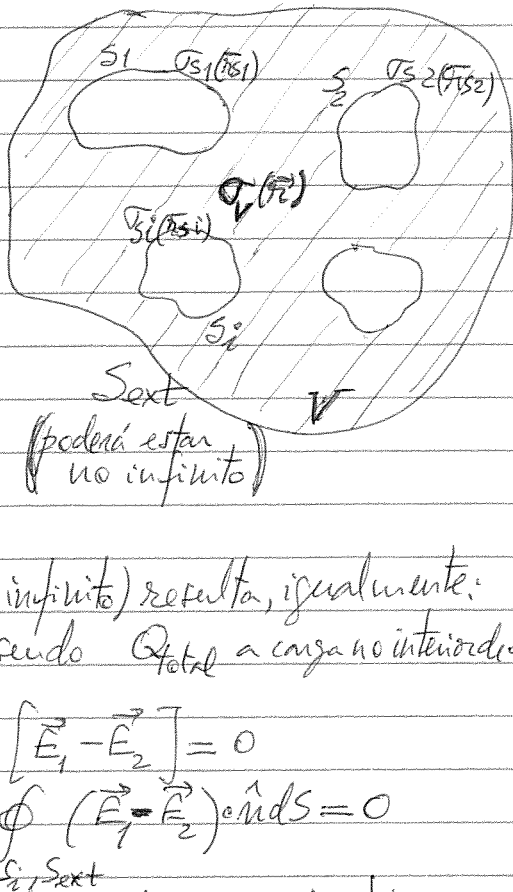
Considera-se um volume  $V$  contendo fronteiras condutoras e limitado por condutores ou não-limitado, contendo uma distribuição de carga de densidade  $\sigma_r(\vec{r})$ , sendo  $\sigma_{Si}(\vec{r}_{Si})$  as densidades de carga superficial nos condutores. Nota-se, de seguida, que o campo elétrico resultante é univocamente determinado.

Supondo duas soluções distintas do campo elétrico resultante,  $\vec{E}_1(\vec{r})$  e  $\vec{E}_2(\vec{r})$ , verificando ambas as condições indicadas, no espaço entre os condutores ter-se-á:

$$\nabla \cdot \vec{E}_{1,2}(\vec{r}) = \sigma_r(\vec{r})/\epsilon_0$$

Considerando superfícies de Gauss  $S_i$  imediatamente no exterior dos condutores,

resulta:  $\oint_{S_i} \vec{E}_{1,2} \cdot \hat{n} dS_i = Q_i/\epsilon_0$ , sendo  $Q_i = \int_{S_i} \sigma_{Si}(\vec{r}_{Si}) dS_i$ .



Para a fronteira exterior da  $V$  (finita, ou no infinito) resulta, igualmente:

$$\oint_{Sext} \vec{E}_{1,2} \cdot \hat{n}_{ext} dS_{ext} = Q_{total}/\epsilon_0, \text{ sendo } Q_{total} \text{ a carga no interior de } S_{ext}$$

- Assim:
- na região entre condutores:  $\nabla \cdot [\vec{E}_1 - \vec{E}_2] = 0$
  - em todas as superfícies fronteira:  $\oint_{Sext} (\vec{E}_1 - \vec{E}_2) \cdot \hat{n} dS = 0$

Da superfície de cada condutor em equilíbrio é uma superfície equipotencial; assim, os potenciais  $\phi_{1,2}$  associados aos campos  $\vec{E}_{1,2}$  devem ser constantes (eventualmente diferentes) em cada superfície.

Como:  $\nabla \cdot [(\phi_1 - \phi_2)(\vec{E}_1 - \vec{E}_2)] = (\phi_1 - \phi_2) \nabla \cdot (\vec{E}_1 - \vec{E}_2) + (\vec{E}_1 - \vec{E}_2) \cdot \nabla(\phi_1 - \phi_2) = 0 - |\vec{E}_1 - \vec{E}_2|^2$ .

Integrando na região entre condutores e recorrendo ao teorema de Gauss-Green:  $\int_V \nabla \cdot [(\phi_1 - \phi_2)(\vec{E}_1 - \vec{E}_2)] dV = \oint_S (\phi_1 - \phi_2)(\vec{E}_1 - \vec{E}_2) \cdot \hat{n} dS = (\phi_1 - \phi_2) \oint_S (\vec{E}_1 - \vec{E}_2) \cdot \hat{n} dS = 0 = - \int_V |\vec{E}_1 - \vec{E}_2|^2 dV$

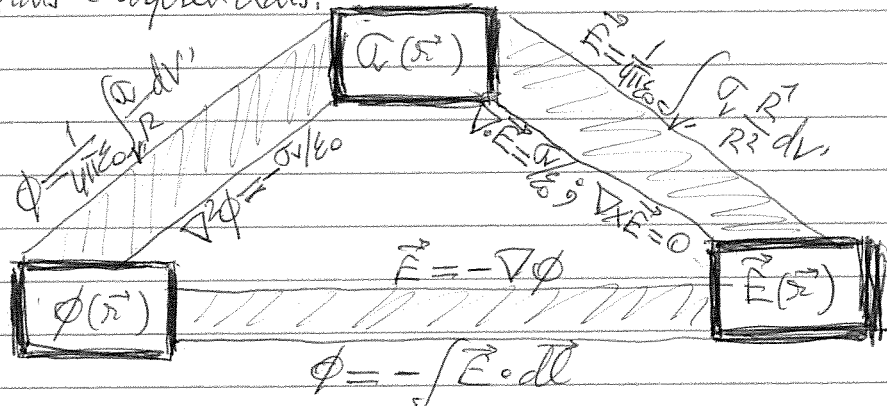
(pois  $\phi_1 - \phi_2$  = constante em cada superfície  $S_i$  e  $S_{ext}$ ; se  $S_{ext}$  no infinito,  $\phi_1 - \phi_2 = 0$ ). Resulta, então:  $\int_V |\vec{E}_1 - \vec{E}_2|^2 dV = 0$

Logo:  $\vec{E}_1 = \vec{E}_2$  em todos os pontos.

2.186

- No caso de ser fixado o potencial na superfície  $S$  de fronteira de um volume  $V$ , e existir uma distribuição de carga de densidade  $\sigma_V(\vec{r})$  em  $V$ , deverá verificar-se a equação de Poisson  $\nabla^2\phi = -\rho_V/\epsilon_0$ . Admitindo duas soluções distintas,  $\phi_1 \neq \phi_2$ , resulta  $\nabla^2\phi_1 - \nabla^2\phi_2 = 0$ ; a diferença  $\phi_1 - \phi_2$  das soluções verifica a equação de Laplace e tem valor nulo na fronteira  $S$ . Assim,  $\phi_1 = \phi_2$ . Deve-se que o potencial  $\phi(\vec{r})$  em  $V$  é univocamente determinado se for especificada a densidade de carga  $\sigma_V(\vec{r})$  em  $V$ , e o valor do potencial  $\phi(\vec{r}_S)$  em todas as fronteiras.

- Em Eletrostática no vácuo, há três grandezas fundamentais, que estão relacionadas entre si: a densidade de carga  $\sigma(\vec{r})$ , o campo elétrico  $\vec{E}(\vec{r})$ , e o potencial elétrico  $\phi(\vec{r})$ . O diagrama ilustra as relações integrais e diferenciais.



#### Condições fronteira de campo elétrico $\vec{E}$

Considera-se uma superfície  $S$  onde a densidade de carga superficial é  $\sigma_S(\vec{r}_S)$ .

- Considerando a lei de Gauss, com uma superfície elementar de Gauss como representado na figura,

$$\oint_{SG} \vec{E} \cdot d\vec{s} = \frac{1}{\epsilon_0} \sigma_S(\vec{r}_S) dS ; \text{ fazendo } dh \rightarrow 0:$$

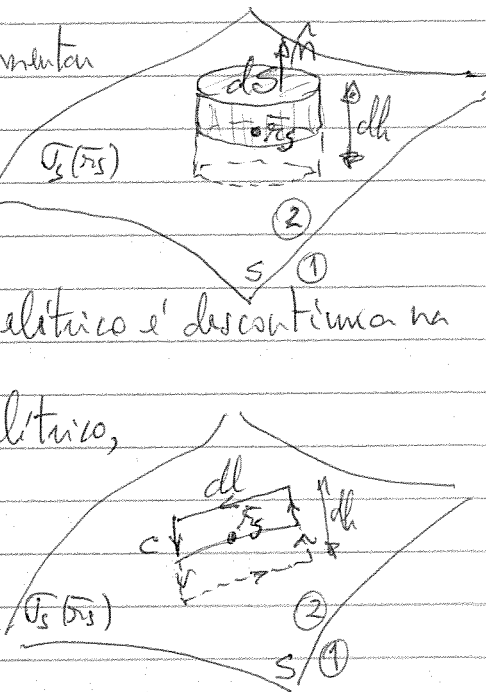
$$E_{N2}(\vec{r}_S) - E_{N1}(\vec{r}_S) = \sigma_S(\vec{r}_S)/\epsilon_0$$

A componente normal à superfície do campo elétrico é descontínua na fronteira se  $\sigma_S(\vec{r}_S) \neq 0$ .

- Atendendo ao caráter conservativo do campo elétrico, e considerando um percurso elementar como representado na figura,  $\oint \vec{E} \cdot d\vec{l} = 0$ ;

fazendo  $dh \rightarrow 0$ :

$$E_{T2}(\vec{r}_S) - E_{T1}(\vec{r}_S) = 0$$

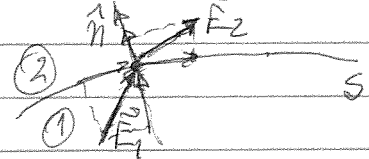


Assim, a componente tangencial à superfície S do campo étnico é contínua.

2.18C

- Combinando numa única expressão os resultados anteriores:

$$\vec{E}_2(\vec{r}_S) - \vec{E}_1(\vec{r}_S) = \frac{\sigma_S(\vec{r}_S)}{\epsilon_0} \hat{n}$$



Assim, existindo carga superficial, as linhas de campo reorientam-se na superfície S

### ② Condições fronteira do potencial elétrico $\phi$

Como:  $\phi_2 - \phi_1 = - \int_A^B \vec{E} \cdot d\vec{l}$ , considerando

um percurso elemental como representado na figura, quando  $d\vec{l} \rightarrow 0$  resulta:

$$\phi_2(\vec{r}_S) - \phi_1(\vec{r}_S) = 0$$

ou seja, o potencial é sempre contínuo.

Como  $\vec{E} = -\nabla\phi$ , resulta:

$$\frac{\partial \phi_2}{\partial n} - \frac{\partial \phi_1}{\partial n} = -\frac{\sigma_S}{\epsilon_0}$$

Sendo:  $\frac{\partial \phi}{\partial n} = \nabla\phi \cdot \hat{n}$  a derivada direcional de  $\phi$  segundo a normal à superfície S.

Assim,  $\phi$  é contínuo em S, mas a sua derivada  $\partial\phi/\partial n$  apresenta discontinuidade se  $\sigma_S \neq 0$ .

aplicar-se em S + L, em que o raios de S é feito tender para infinito. Resulta daí a condição  $\phi = 0$  no infinito como condição fronteira. 2.19

Como a solução do "problema elástostático" é única, tal solução deve, numa vez determinada por um qualquer método aprofundado uma solução, essa seja a solução do problema. Uma vez determinada a função potencial  $\phi$ , é imediato calcular o campo elétrico, por simples diferenciações ( $\vec{E} = -\nabla\phi$ ).

Em certos problemas simples, com elas de grau de simetria, é possível obter, por via analítica, a função potencial elástico  $\phi$ , recorrendo novamente ao método dos harmônicos retangulares, cilíndricos ou esféricos (de acordo com a simetria do problema), conforme se analisa no Capítulo.... Contudo, na generalidade das situações (condições fronteira muito simples, na superfície de condutores com formas complexas), é necessário recorrer a técnicas numéricas e computacionais (usando, novamente, os métodos de diferenças finitas ou elementos finitos). Em certos casos, o "método das imagens" permite obter a solução por comparar diretamente o problema em causa com um outro "problema análogo" cuja solução é conhecida, tal como dissecado no Capítulo....

Note-se ainda que, como um campo elástostático se verifica que  $\nabla \times \vec{E} = 0$ , usando uma identidade vetorial, resulta

$$\nabla \times (\nabla \times \vec{E}) = \nabla (\nabla \cdot \vec{E}) - \nabla^2 \vec{E} = 0$$

Como numa região sem cargas se tem  $\nabla \cdot \vec{E} = 0$ , vem nesse caso

$$\boxed{\nabla^2 \vec{E} = 0}$$

(uma região sem cargas)

Em geral, a expressão do laplaciano de um vetor não é simples (ver Apêndice...). Todavia, em coordenadas cartesianas, vem

$$\nabla^2 \vec{E} = \nabla^2 E_x \hat{x} + \nabla^2 E_y \hat{y} + \nabla^2 E_z \hat{z}$$

dónde resulta

$$\boxed{[\nabla^2 E_x = \nabla^2 E_y = \nabla^2 E_z = 0]} \quad (\text{região sem cargas})$$

Em coordenadas cilíndricas, e para a componente  $\hat{z}$ , também resulta  $[\nabla^2 E_z = 0]$ .